

УДК 533.9.07 : 538.4

ИССЛЕДОВАНИЕ СТРУКТУРЫ СТРУЙ ДИНАМИЧЕСКОГО Z-ПИНЧА

E. V. Калачников, П. Н. Роговцев

Проведено исследование газодинамических и электромагнитных свойств струй плазмы стабилизированного самосжатого разряда — динамического Z-пинча. В магнитогидродинамическом и газодинамическом режимах течения плазмы при высоких энергетических параметрах (10^6 — 10^7 Вт/см³) и значительной длительности ($\sim 6 \cdot 10^{-4}$ с) экспериментально показаны возможные пути управления параметрами плазмы струй: скоростью, температурой, давлением, плотностью тока.

Одним из перспективных импульсных источников света большой длительности и интенсивности является источник на основе плотной плазмы самосжатого разряда в условиях интенсивного осевого продува токового канала струей плазмы [1—3]. В этом случае плазма имеет малое пролетное время, в результате чего гидромагнитная неустойчивость не успевает развиваться и не накладывает ограничения на общую длительность разряда. Такой тип разряда можно назвать динамическим Z-пинчем.

Настоящая работа посвящена качественному исследованию газодинамики работающего на этом принципе импульсного струйного источника плазмы (рис. 1).

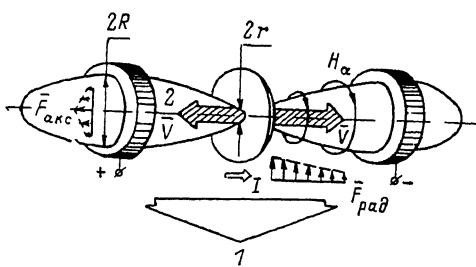


Рис. 1. Разрядное устройство.

На рис. 1 схематически изображен струйный плазменный источник. Излучение I от струй плазмы 2 , стабилизирующих разряд, регистрировалось в направлении, перпендикулярном оси разряда, на многоканальном диагностическом комплексе [4]. Пространственное развитие струй плазмы регистрировалось на высокоскоростной кинокамере ЖЛВ-2 с частотой $6.7 \cdot 10^4$ кадров/с через интерференционный светофильтр с $\lambda_{\max} = 380$ нм. Структура разряда в межэлектродном промежутке различалась на фотографиях по величине плотности почернения (рис. 2). Яркостная температура плазмы в струях измерялась в четырех диапазонах длин волн с положением максимума на $\lambda_1 = 235$, $\lambda_2 = 400$, $\lambda_3 = 460$ и $\lambda_4 = 633$ нм фотопроцессорным методом сравнения с излучением стандарта яркости ЭВ-45. Давление в срединном сечении отверстия диафрагмы измерялось креперным методом с использованием динамической калибровки креперных датчиков давления. Импульсное давление в струях регистрировалось как креперными, так и пьезокерамическими датчиками. Скорость уноса массы экспериментально определялась взвешиванием плазмообразующей вставки до и после каждого

1. Экспериментальная установка

Разряд осуществлялся между графитовыми кольцевыми электродами с внутренним диаметром 3.5 см через тонкую диафрагму из плазмообразующего материала органического состава (текстолит, полиформальдегид) с диаметром

отверстия 0.4 см в открытой кварцевой трубе и без нее. На рис. 1 схематически изображен струйный плазменный источник. Излучение I от струй плазмы 2 , стабилизирующих разряд, регистрировалось в направлении, перпендикулярном оси разряда, на многоканальном диагностическом комплексе [4]. Пространственное развитие струй плазмы регистрировалось на высокоскоростной кинокамере ЖЛВ-2 с частотой $6.7 \cdot 10^4$ кадров/с через интерференционный светофильтр с $\lambda_{\max} = 380$ нм. Структура разряда в межэлектродном промежутке различалась на фотографиях по величине плотности почернения (рис. 2). Яркостная температура плазмы в струях измерялась в четырех диапазонах длин волн с положением максимума на $\lambda_1 = 235$, $\lambda_2 = 400$, $\lambda_3 = 460$ и $\lambda_4 = 633$ нм фотопроцессорным методом сравнения с излучением стандарта яркости ЭВ-45. Давление в срединном сечении отверстия диафрагмы измерялось креперным методом с использованием динамической калибровки креперных датчиков давления. Импульсное давление в струях регистрировалось как креперными, так и пьезокерамическими датчиками. Скорость уноса массы экспериментально определялась взвешиванием плазмообразующей вставки до и после каждого

опыта. Причем учитывался унос массы только с внутренней стенки отверстия диафрагмы, так как торцевые поверхности диафрагмы закрывались защитными кольцами толщиной 0.1 и диаметром 0.6 см. Магнитными зондами с чувствительностью 125 кЭ/В регистрировалась напряженность магнитного поля в оболочке и струе в ходе развития разряда. Зондовое устройство включало в себя три квадратные катушки размером 0.5·0.5 см², располагающиеся по радиусу разрядного канала на расстоянии 0.1 см друг от друга. Эффективная площадь каждой катушки 0.25 см². Катушки помещались в защитный экран из оргстекла с внешним диаметром 0.9 см. Зондовое устройство перемещалось в радиальном и азимутальном направлениях. Калибровка магнитных зондов осуществлялась импульсным током известной величины с помощью катушки Гельмгольца. Распределение плотности тока по радиусу разряда рассчитывалось по кривым радиального изменения магнитного поля для кольцевых поясов, размер которых по радиусу определялся размером магнитной катушки и был равен 0.6 см. Омическими делителями напряжения измерялось падение напряжения на разрядном промежутке для различных расстояний от заземленного катода. Энергия излучения определялась калориметром ТПИ-2М с индикацией на цифровом вольтметре типа Щ68003. Межэлектродное расстояние разрядного устройства менялось от 5.0 до 12.0 см. Использование кварцевой трубы в разрядном устройстве обеспечивало разделение объема разряда и зоны облучения. В этом варианте

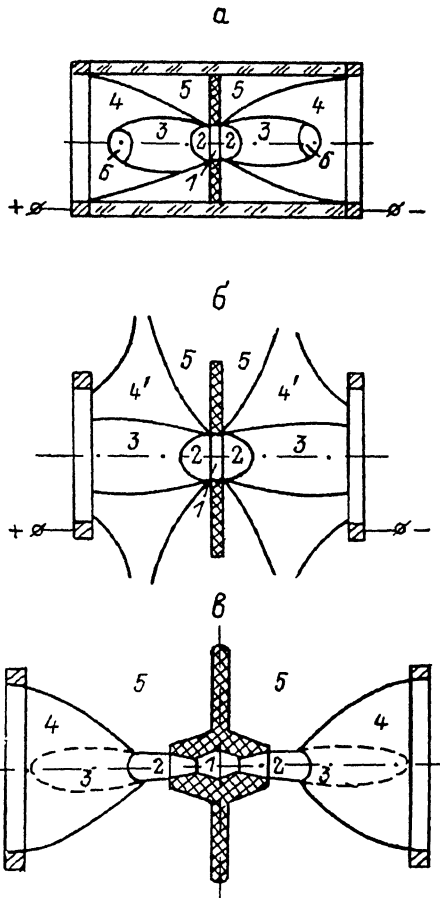


Рис. 2. Структура разряда по величине плотности покрытия на фотографии для различных вариантов разрядного устройства — динамического Z-пинча в открытой кварцевой трубке (а), на воздухе (б), на воздухе через сопло (в).

1 — зона КРИС, 2 — при妯евая зона, 3 — осевая зона продувка плазмой, 4 — зона магнитообжатой струи плазмы, 4' — зона расширяющейся оболочки разряда, 5 — окружающая среда, 6 — зона эжекторного влияния кольцевого электрода.

источника выход излучения ограничивался спектральным пропусканием кварца марки КУ-2. Инициирование разряда по оси межэлектродного промежутка проводилось с помощью электрического взрыва алюминиевой фольги толщиной 10 мкм и шириной 0.2 см. Конец переходной фазы наблюдался на 10—15 мкс и совпадал с результатами численного расчета на ЭВМ по программе [5] для этапа разогрева и взрыва фольги, завершающегося переходом разряда в LC-режим. Электропитание осуществлялось от конденсаторной батареи (емкость $C=4.8 \cdot 10^{-3}$ Ф, индуктивность контура $L_c=3.1 \cdot 10^{-6}$ Гн, сопротивление контура в режиме короткого замыкания $R_c=6.7 \cdot 10^{-3}$ Ом, начальное зарядное напряжение варьировалось $U_0=3 \div 5$ кВ), формирующей одиночный импульс тока в режиме, близком к критическому. Величина тока в максимуме достигала $I_{\max}=40 \div 80$ кА вблизи $t_{\max}=180 \div 200$ мкс, длительность менялась от 400 до 600 мкс в зависимости от режима электропитания. Электрический КПД разрядного контура составлял 0.76. При реализуемой в работе величине плотности тока в отверстии диафрагмы (300—600 кА/см²) для указанного диапазона режима электропитания с запасенной энергией $E_0=21.6 \div$

60 кДж тепловая нагрузка на внутреннюю стенку отверстия диафрагмы обеспечивала неселективное испарение используемых плазмообразующих материалов.

2. Результаты экспериментов

В экспериментах удалось в значительной мере управлять температурой, давлением и скоростью генерируемой плазменной струи, изменения силу тока разряда, геометрию и конфигурацию отверстия. В ходе работы были выбраны опорный режим электропитания, геометрия и плазмообразующий материал для каждого варианта разряда при условии достижения наиболее высокой яркостной температуры плазменной струи в приусьевой зоне отверстия диафрагмы без разрушения конструкции разрядного устройства. В работе приведены и обсуждаются результаты экспериментов для каждого варианта лишь в опорном режиме.

Для разряда в открытой кварцевой трубе (рис. 2, а) параметры источника электропитания в опорном режиме составляли: $U_0 = 3.0$ кВ, $E_0 = 21.6$ кДж. Межэлектродное расстояние 7.0 см. Плазмообразующая диафрагма была выполнена из текстолита марки ПТК толщиной 0.3 см с отверстием цилиндрической формы диаметром 0.4 см. Электрические параметры на разрядном промежутке в момент максимума тока $t_{\max} = 200$ мкс: ток $I_{\max} = 45 \pm 4$ кА, напряжение на промежутке анод—катод $U_{\max} = 1.9 \pm 0.2$ кВ. Коэффициент согласования разряда с накопителем для $t_{\max} = 200$ мкс

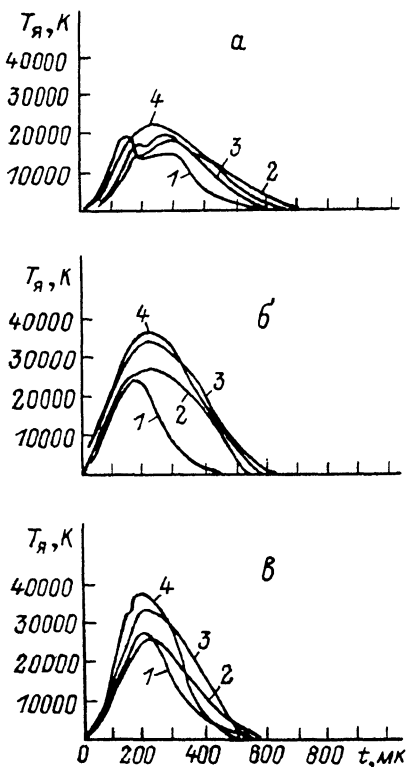


Рис. 3. Осциллограммы светового импульса в четырех длинах волн: $\lambda_1 = 235$, $\lambda_2 = 400$, $\lambda_3 = 460$, $\lambda_4 = 633$ нм.

а — разряд в кварцевой трубе, б — открытый разряд через цилиндрическое отверстие в диафрагме, в — разряд через сопло в диафрагме.

$$\alpha = \frac{\int_0^{t_{\max}} u(t) I(t) dt}{(C U_0^2 / 2)} = 0.8.$$

При измерении максимального значения давления в срединном сечении отверстия $P_{0 \max}$ была увеличена толщина диафрагмы до 1.0 см. Величина $P_{0 \max}$ измеренная креперным методом при использовании динамической тарировочной кривой для импульса $\tau = 0.5 \cdot 10^{-3}$ с, составила 41 ± 4 МПа, а по статической кривой $P_{0 \max} = 21 \pm 2$ МПа. Скорость уноса массы плазмообразующего материала с внутренней стенки отверстия диафрагмы при расчете для длительности на уровне 0.1 от амплитудного значения тока составила 18.0 ± 1.5 г/с для текстолитовой диафрагмы толщиной 0.3 см и 100 ± 10 г/с для текстолитовой диафрагмы толщиной 1.0 см. Оценка скорости испарения и уноса массы по величине разогревания отверстия Δr по формуле

$$\dot{m} = \pi \rho l [2r \Delta r + \Delta r^2] / \Delta t,$$

где ρ — плотность материала плазмообразующей диафрагмы ($\text{г} \cdot \text{см}^{-3}$), Δt — длительность разряда (с), l — толщина (см.), r — радиус отверстия до эксперимента (см), Δr — величина разогревания отверстия (см), дает близкие результаты: $m = 16 \pm 2$ г/с при толщине 0.3 см и 63.9 ± 6 г/с при толщине 1.0 см. Удель-

ая скорость уноса массы для текстолита $\dot{m}/S = 48 \pm 4.5$ г/с·см². Плотность энергии излучения на расстоянии 4 см от оси разряда 8 Дж/см².

Осциллограммы светового импульса для осевой области катодной струи в четырех длинах волн, оцифрованные в яркостных температурах, приведены на рис. 3, а. После взрыва инициирующего разряд проводника на стартовой фазе развития разряда ($t_r = 15 \div 200$ мкс) при скорости роста тока $dI/dt = -4 \cdot 10^5$ кА/с отношение давления в срединном сечении отверстия диафрагмы P_0 к давлению в окружающей среде P_5 (рис. 2, а) меньше критического отношения $P_0/P_{kp} = 1 + \gamma > P_0/P_5$, где $\gamma = c_p/c_v = 1.2 \div 1.3$ (γ — постоянная адиабаты с учетом энергии ионизации [6, 7]). Скорость истечения струй дозвуковая. Дозвуковое течение неустойчиво и турбулентно. К концу стартовой фазы сила тока увеличивается до максимального значения $I_{max} = 45$ кА на $t_{max} = 200$ мкс. За счет интенсивной световой эрозии стенок отверстия диафрагмы давление в срединном сечении повышается до $P_{0max} = 55$ МПа при толщине $l = 1.0$ см и до $P_{0max} = 18$ МПа при $l = 0.3$ см по полуэмпирической расчетной модели КРИС [8]. При этом скорость течения струй плазмы вблизи оси в приусьевой зоне возрастает до $v = 30$ км/с, где скорость звука в плазме в области критического сечения $c_{kp} = 11.5$ км/с для диафрагмы с $l = 0.3$ см. Давление в окружающей струю среде $P_5 = 0.11$ МПа определено из соотношения для расстояния до центрального скачка уплотнения

$$L = 0.84r(P_{kp}/P_5)^{1/2} [8, 9],$$

положение которого определялось по фотографиям киносъемки развития разряда. Напор в струе к концу стартовой фазы развития разряда возрастает, и она становится устойчивой. В связи с этим возрастает поток магнитной индукции через устойчивую область: азимутальное магнитное поле разряда увеличивается до $H = 3.6 \cdot 10^6$ А/м в приусьевой зоне струй и до $H = 4 \cdot 10^6$ А/м у кольцевых электродов. Приложенная к единице объема струи плазмы радиальная сжимающая сила составила $F_{rad} = 8 \cdot 10^9$ Н/м³ у диафрагмы и $F_{rad} = 1.1 \times 10^7$ Н/м³ у кольцевых электродов. Это приводит к значительному обжатию струи. Для квазистационарной фазы развития разряда ($t_{ff} = 200 \div 580$ мкс) в условиях большой удельной мощности, вводимой в разряд $q = (1 \div 2) \cdot 10^6$ Вт/см³ на $t = 200 \div 250$ мкс, магнитное давление собственного тока разряда в критическом сечении струи составляет $P_{mag} = 8.06$ МПа. Это достаточно для реализации МДГ режима истечения струи для диафрагмы с $l = 0.3$ см, где $P_{kp} = 6.4$ МПа; в случае диафрагмы с $l = 1.0$ см осуществляется газодинамический режим КРИС, где $P_{kp} = 24.6$ МПа, согласно критерию, предложенному в [6]. Особенностью развития разряда на квазистационарной фазе является наличие определенной структуры струй. На фотографиях при съемке через узкополосный интерфильтер с $\lambda_{max} = 380$ нм ± 3 нм были зарегистрированы зоны различной яркости в приосевой области разряда (рис. 2, а). Осевая зона продува имела характерную каплевидную конфигурацию истечения с избыточным давлением в случае недорасширением. Был зарегистрирован первый скачок уплотнения, положение которого относительно отверстия диафрагмы было неизменно на протяжении всей квазистационарной фазы вплоть до 580 мкс. Это позволяет сделать предположение о постоянстве отношения P_{kp}/P_4 в условиях формирования токового канала и равенстве его для данной конфигурации некоторой безразмерной величине

$$\frac{P_{kp}}{P_4} = \left[\frac{L}{0.42 \cdot 2r} \right]^2 = A = 221,$$

P_4 — давление в спутной, магнитообжатой, струе, являющейся окружающей средой для осевой зоны продува; L — расстояние от среза диафрагмы до центрального скачка уплотнения; $2r$ — диаметр отверстия диафрагмы.

Максимальное давление в срединном сечении отверстия диафрагмы P_{0max} при толщине $l = 1.0$ см, измеренное крешерным методом для динамической тарировочной кривой с длительностью калибровочного импульса $\tau = 0.5 \cdot 10^{-3}$ с, составляло $P_{0max} = 42 \pm 4$ МПа. Оно дает хорошее совпадение с величиной $P_{0max} = (\gamma + 1)P_{kp} = 52 \pm 6$ МПа, рассчитанной по положению центрального

скачка уплотнения, а также с $P_{0\max}=55$ МПа из расчетной модели КРИС как расходного сопла с известными параметрами: током $I_{\max}=45$ кА, диаметром $2r=0.4$ см, толщиной $l=1.0$ см [6]. На фазе затухания разряда для $t_{III} > 580$ мкс центральный скачок уплотнения приближался к срезу отверстия диафрагмы. Проталкивающее давление в срединном сечении P_0 снижалось за промежуток времени $t=580 \div 680$ мкс от 52 до 5 МПа для диафрагмы с $l=1.0$ см и от 18 до 1.6 МПа для диафрагмы с $l=0.3$ см. Скорость продува уменьшалась, разряд затухал.

Для разряда в воздухе (рис. 2, б) зарядное напряжение на конденсаторной батарее $U_0=4.0$ кВ, $E_0=38.4$ кДж. Межэлектродное расстояние 7.0 см, плазмообразующая диафрагма также была из текстолита толщиной 0.3 см с цилиндрическим отверстием диаметром 0.4 см. Электрические параметры контура на разрядном промежутке в момент максимума тока $t_{\max}=180$ мкс: ток $I_{\max}=74 \pm 5$ кА, напряжение на промежутке $U_{\max}=2.4 \pm 0.2$ кВ. Коэффициент $\alpha=0.78$. Для динамического Z-пинча на воздухе общий характер развития струй сохраняется. Но помимо осевой зоны продува 3 на фотографиях киносъемки были зарегистрированы область газодинамического расширения погранслоя из отверстия 4' и образующаяся из него оболочка разряда, а также область 6 эжекторного действия на оболочку осевой струи вблизи кольцевых электродов (рис. 2, б).

Истечение погранслоя из отверстия диафрагмы и его характер — обычное газодинамическое расширение с образованием конуса 4 газовой оболочки разряда — позволяют предположить, что в отверстии диафрагмы происходит обжатие токового слоя от стенок к оси сильным магнитным полем тока $H_{\max}=5.9 \cdot 10^6$ А/м.

Рис. 4. Осциллографмы импульса напряженности магнитного поля в токовом слое и оболочке разряда на воздухе

через цилиндрическое отверстие в диафрагме для $z=2.2$ см от диафрагмы в катодной части разряда и для $\Delta r=1.2 \div 1.8$ (1) от оси, $1.8 \div 2.4$ (2), $2.4 \div 3.0$ (3), $5.8 \div 6.4$ (4), $6.4 \div 7.0$ (5), $7.0 \div 7.6$ см (6).

Это подтверждается тем, что в данном режиме электропитания осуществлялся МГД режим КРИС, согласно критерию [6], и отрыв плазмы от стенки возможен. На рис. 4 приведены осциллографмы напряженности азимутального магнитного поля $H_\alpha(r, t)$ для области у кольцевого катода на расстоянии $z=2.2$ см от среза диафрагмы. Следует отметить, что максимальная величина магнитного давления в этой области, определенная экспериментально с помощью магнитных зондов, $P_{\text{магн}}^{\text{эксп}}=9.6 \cdot 10^4$ Па, почти в два раза меньше рассчитанной по величине тока $P_{\text{магн}}=\mu_0 I^2 / 8\pi^2 R^2=2.2 \cdot 10^5$ Па, что свидетельствует о необходимости тщательного изучения распределения тока в токовом слое и оболочке разряда. Значения компонент средней плотности тока по кольцевым слоям в токовом слое струи и оболочке у электродов, определенные через уравнение Maxwella [10]

$$\bar{J} = \frac{r_k H_\alpha(r_k) - r_i H_\alpha(r_i)}{1/2 \cdot (r_k + r_i)(r_k - r_i)},$$

где r_k и r_i , $r_k > r_i$ — радиусы кольца, показаны на рис. 5. Экспериментальные результаты свидетельствуют, что для данного варианта разряда и режима электропитания осуществляется практически равномерное распределение плотности тока в струе в радиальном направлении. Но несовпадение баланса по току данных измерений магнитными зондами и поясами Роговского дает основания считать наличие существенной токовой шунтировки по газовой оболочке разряда либо значительно большую плотность тока в приосевой области, где $r < 1.2$ см и достоверные измерения магнитными зондами, используемыми в данной работе, затруднены. Для экспериментов на диафрагмах с цилиндрическим отверстием был проведен расчет параметров плазмы струи для течения в приуставной зоне (см. таблицу). Термодинамические параметры плазмы (температура T , давление в критическом сечении $P_{\text{кр}}$, давление в срединном сечении P_0 ,

удельная проводимость η , энталпия h , плотность ρ) определены по аппрокси-
мирующим выражениям [6], а газодинамические по зависимостям, приведен-
ным в [7].

С целью повышения однородности струи плазмы при сохранении высокой яркостной температуры отверстие в диафрагме было выполнено в виде двух симметрично совмещенных сверхзвуковых сопел с выходами в стороны электродов с диаметром в срединном сечении $2r_0=0.9$ см и длиной сужающейся части 0.7 см, диаметром в критическом сечении $2r_{kp}=0.4$ см, диаметром в выходном сечении $2r=0.8$ см и углом раствора расширяющейся части сопла $2\alpha=30^\circ$. При этом соотношение размеров диаметра отверстия электродов $2R=3.5$ см и диаметра критического сечения $2r_{kp}$ сопел удовлетворяло одному из условий устойчивости для динамического Z-pinча

$$\ln \frac{R}{r_{kp}} \geq \frac{4\pi k t_{\text{нейст}}^{-1} L \dot{m}}{\mu_0 I^2},$$

где $t_{\text{нейст}}=10^{-6}\div10^{-7}$ с — время развития гидромагнитной неустойчивости; $k=0.4\div0.5$ — коэффициент, определяющий долю составляющей скорости потока за счет электромагнитной аксиальной силы; $2L$ — межэлектродное расстояние; \dot{m} — скорость уноса плазмообразующего материала диафрагмы под действием излучения; μ — магнитная проницаемость плазмы; μ_0 — магнитная постоянная; I — амплитуда тока разряда.

Минимальный размер $2r_{kp}$ ограничен величиной механической прочности материала диафрагмы σ . Для текстолита марки ПТК $\sigma_{\text{раст}}=100$ МПа, $\sigma_{\text{изг}}=170$ МПа [11]. Величина $2r_{kp}$ была найдена для МГД режима разряда в отверстии диафрагмы из условия равенства давления в критическом сечении сопла P_{kp} магнитному давлению в этом сечении $P_{\text{магн}}$, т. е. $P_{kp}=P_{\text{магн}}=P_0/(1+\gamma)=0.445$, $P_0=0.445$ с для расходного сопла, или

$$r_{kp} = \sqrt{\mu_0 I^2 (1 + \gamma) / 4\pi^2 \sigma},$$

где $\gamma=c_p/c_v$ — постоянная адиабаты. Для определения диаметра сопла в срединном сечении $2r_0$ был выбран случай комбинации расходного и геометрического сопел, когда $2r_0 > 2r_{kp}$. При этом с учетом геометрии сужающейся части сопла величина $2r_0$ должна удовлетворять условию

$$r_0 = \sqrt{\frac{\mu_0 I^2 \left[1 + \gamma + \left(\frac{\gamma + 1}{2} \right)^{\gamma/(1-\gamma)} \right]}{4\pi^2 \sigma}}.$$

Для того чтобы достичь отсутствия структуры Маха в приосевой области струи, давление в струе на срезе сопла P_2 (рис. 2, σ) должно быть равно давлению в спутной магнитообжатой струе P_4 , являющейся внешней средой для продувающей приосевой струи. Это достигалось для описанного сопла подбором величины P_0 при форсировании режима электропитания с одновременной регистрацией структуры струи на скоростной кинокамере через узкополосный интерфильр. Наличие даже слабой неоднородности на оси свидетельствовало о сверхзвуковой скорости затопленной струи. Звуковое течение продувающей плазменной струи в спутной магнитообжатой (рис. 2, σ), было достигнуто при следующем режиме энергопитания: зарядное напряжение на конденсаторной

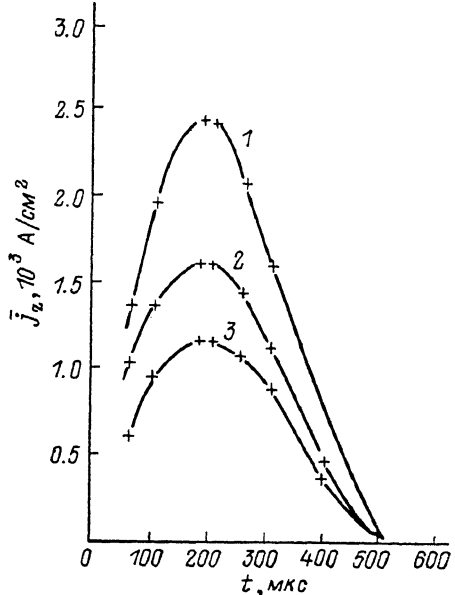


Рис. 5. Средняя плотность тока в катодной струе для кольцевых зон и $\Delta r=-1.2-1.8$ (1), $1.8-2.4$ (2), $2.4-3.0$ см (3).

Диафрагма		Электрические параметры разряда		Термодинамические параметры плазмы							Газодинамические параметры струи		
$2r$, см	I , см	I_{\max} , кА	E_0 , кДж	$P_{\text{кр}}$, МПа	$P_{\text{магн}}$, МПа	P_0 , МПа	T , К	h , кДж/г	η , $\Omega^{-1} \cdot \text{см}^3$	ρ , $\text{г}/\text{см}^3$	$c_{\text{кр}}$, $\text{км}/\text{с}$	v , $\text{км}/\text{с}$	M
0.4	0.3	45	21.6	6.4	8.06	18.1	47600	724	237	$0.668 \cdot 10^{-4}$	12	30	2.5
0.4	0.3	75	38.4	12.5	65.2	146.5	57900	770	380	$5.09 \cdot 10^{-4}$	12.4	32	2.7
0.4	1.0	45	21.6	24.6	8.06	55.2	48500	657	292	$2.24 \cdot 10^{-4}$	11.5	31	2.7

батарее $U_0=4.0$ кВ, $E_0=38.4$ кДж. Межэлектродное расстояние было увеличено до 11.0 см, ток в максимуме $t_{\max}=170$ мкс составил $I_{\max}=57 \pm 4$ кА, напряжение $U_{\max}=2.2 \pm 0.2$ кВ, $\alpha=0.56$. Вкладываемая в разряд удельная мощность $0.9 \cdot 10^8$ Вт/см³. При этом генерировалась квазистационарная однородная, по данным фотографической регистрации, плазменная струя начиная с расстояния 1–2 калибра, т. е. 1–1.6 см от кромки сопла как в анодной, так и в катодной частях разрядного промежутка.

В заключение отметим, что данная работа дает качественное описание наблюдаваемой в условиях динамического Z-пинча структуры струй. Выяснение причин и детальный анализ режима течения плазмы при высоком уровне энергетических параметров ($q \geq 10^7 \div 10^8$ Вт/см³) и значительной длительности ($t \geq 10^{-4}$ с) достаточно сложны и требуют дополнительного рассмотрения. Этого требует и необходимость управления оболочкой разряда, экранирующей излучение. В частности, за счет эжекторного эффекта у кольцевых электродов, при использовании разряда в качестве источника однородной плазмы и коротковолнового источника света.

Авторы выражают благодарность Н. Н. Огурцовой и Е. М. Голубеву за полезные обсуждения, а И. В. Подмошенского благодарят за поддержку в работе.

Литература

- [1] Огурцова Н. Н., Подмошенский И. В., Шелемина В. М. ЖТФ, 1975, т. 45, с. 2011–2014.
- [2] Воронич В. Б., Огурцова Н. Н., Подмошенский И. В., Роговцев П. Н. ЖТФ, 1980, т. 50, № 5, с. 1009–1014.
- [3] Калачников Е. В. Тез. докл. II Всес. конф. «Теоретическая и прикладная оптика». Л., ГОИ, 1986, с. 208.
- [4] Калачников Е. В., Миронов И. С., Роговцев П. Н. ТВТ, 1985, т. 23, № 2, с. 253–261.
- [5] Подмошенский И. В., Роговцев П. Н., Соболев В. Ф. ЖТФ, 1984, т. 54, № 2, с. 262–269.
- [6] Белов С. Н., Жилин А. Н., Огурцова Н. Н., Подмошенский И. В. ТВТ, 1978, т. 16, № 163, с. 473–481.
- [7] Абрамович Г. Н. Прикладная газовая динамика. М.: Наука, 1976. 888 с.
- [8] Минько Л. Я. Получение и исследование импульсных плазменных потоков. Минск: Наука и техника, 1970. 184 с.
- [9] Крист, Шерман, Гласс. Ракетная техника и космонавтика, 1966, № 1, с. 37.
- [10] Лохте-Хольтерсвен В. Методы исследования плазмы. М.: Мир, 1971. 552 с.
- [11] Химический энциклопедический словарь / Под ред. И. Л. Куняянц. М., 1983. 791 с.

Поступило в Редакцию
13 мая 1987 г.